且 次

報 又	
ガスクロマトグラフィーによる高級アルコールの分析伊東 宏・河合 聰…	1
綜合感冒剤の定量に関する研究 カフェインの新比色定量法立沢政義…	5
4-アミノアンチピリンによる 2,4,5-トリクロルフェノールおよびナンコールの定量	
·····································	10
麻薬のガスクロマトグラフィー・・・・・・・・・大野昌子・・・	13
尿中麻薬の検出について (第4報)大野昌子・朝比奈晴世…	16
歯科用合金の変色の機構に関する研究 (第1報)	
歯科用合金の変色について藤井正道・堀部 隆・菊地 寛…	19
麻酔ラットの血圧下降に基づくヒスタミンの定量長沢佳熊・福田秀男…	26
ニワトリ血圧に基づくバソプレシン注射液中のオキシトシンの定量について長沢佳熊・福田秀男…	29
オキシトシンの定量におけるニワトリの再度の使用について長沢佳熊・福田秀男…	30
血圧剤の血圧作用と血流量との関係について (第 1 報)長沢佳熊・福田秀男…	32
解熱薬の効力検定法に関する研究	36
資 料	
ガスクロマトグラフィーによるアレスリン油剤の定量河合 聰・下谷美知子…	41
綜合感冒剤の定量に関する研究	
アセチルサリチル酸の比色定量立沢政義・橋場茂子…	43
綜合感冒剤の定量に関する研究	
アセチルサリチル酸アルミニウムの比色定量立沢政義・橋場茂子…	45
殺虫剤ジプロムの定量法の検討和田悠紀子・柴崎利雄…	47
殺虫剤バイテックスの定量法の検討	50
綜合感冒剤配合薬品の赤外吸収スペクトル一覧表	53
国立衛生試験所標準品(日本薬局方標準品)ジゴキシン標準品およびジギトキシン標準品について	
·····································	58
避妊薬中の酢酸フェニール水銀のポーラログラフ定量法佐藤 寿・島峯望彦…	59
ガスクロマトグラフによるディルドリンおよびエンドリンの分析佐藤 寿・島峯望彦…	61
塩化ビニル樹脂製血液バック用フィルムの研究藤井正道・佐藤 寿・島峯望彦…	63
紙綿類の 基準に ついて (第2報)·······伊東 宏・堀部 隆・篠崎 正…	64
食品中残留農薬に関する研究 (第4報)	
植物生長調整剤の薄層クロマトグラフィー無貝祐太郎・川城 巌…	67
食品中天然色素の分析について (第1報)	
抽出分離法および吸収スペクトル・・・・・・・・・・・・・・・・・・・・・・・・・・・・・・・・・・・・	
玩具用色紙の着色料について神蔵美枝子…	71
国立衛生試験所標準品(色素標準品)オイルオレンジSS標準品,ナフトールエローS標準品	
およびポンソー3R標準品について藤井清次・神蔵美枝子・岡 信江…	72
輸入 食品中の ⁹⁰ Sr および ¹³⁷ Cs の 定量 (第 1 報) ··································	74
水溶性ポマードのセルロイド器具におよぼす影響について	
毛髪の酸吸着および染色について	
過酸化水素脱色毛髪のコールドパーマによる強度変化について南城 実・狩野静雄…	79
環境衛生から見た頭髪中の鉛量について外村正治・南城 実・狩野静雄…	81
新固定法によるネコの体温測定田中 悟・近岡昭典・堀内茂友…	82

solution and Greenwood's artificial saliva, and then the degree of discoloration was measured on each sample. The results were shown in Table 1, 2 and 3.

In vivo test: The several dental alloys invested

with upper denture base resin were equipped in palate for a month and each sample was subjected to the discoloration test and the weight loss test. The results were shown in Table 4 and 5.

(昭和40年5月31日受付)

麻酔ラットの血圧下降に基づくヒスタミンの定量

長 沢 佳 熊・福 田 秀 男

ヒスタミンの血圧下降作用に基づく生物学的な定量 法として, イヌやネコ¹) あるいはニワトリ²) などが使 用されている。とくにネコはヒスタミンに対する感度 が非常に高く,広くヒスタミンの定量にあるいはヒス チジン、抗生物質剤などに含有されるヒスタミン様物 質の許容限界を測る公定法に採用されている。これら の動物よりもっと小さな動物が使用できるなら取り扱 いも便利であるという考えから、長沢ら3) はさきにハ トがこの目的に使用できることを報告した。われわれ はさらにもっと手近なラットの血圧に対するヒスタミ ンの用量-反応関係を検討し、その結果、元来ヒスタ ミンに対して感受性が悪く、定量試験に必要な安定し た血圧基線が得られがたい4)との理由からかえりみら れなかったが、溶性フェノバルビタールで麻酔するこ とにより 0.2~1.6 μg の用量間でヒスタミンの定量に 十分利用できることを認めたのでここに報告する.

実 験 方 法

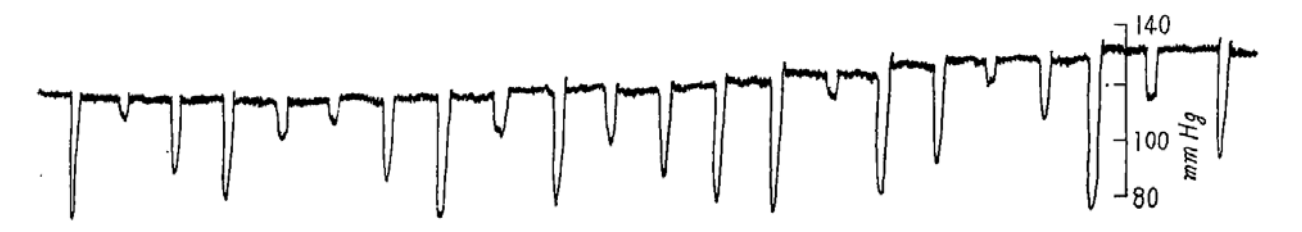
体重 200~300gのラット(雑系)に溶性フェノバルビタール 35 mg/100gを皮下注射して麻酔する. 麻酔は通例 20~30 分でかかり数時間以上持続した. 背位に固定したのち,けい部の皮ふを切開して気管およびけい動脈を露出させ,気管には気管カニューレを 差込む・つぎに股静脈を露出し、これに注射用カニューレ⁵⁾ を差し込んでここからヘパリン溶液(2,000u/mg)0.15 ml/100g を注射する。血圧は 0.9% の塩化ナトリウム溶液を満たしたカニューレを用いてけい動脈圧を水銀マノメーターでキモグラフィオン上に記録させる。必要に応じ人工呼吸機を使用した・

用量一反応の関係はつぎのようにして調べた。ヒスタミン(米国 薬局方 標準品) $1.0 \, \mu g \sim 32.0 \, \mu g/ml$ 間の濃度比 $2 \, \sigma 6$ 溶液を作り,これらを無作為な順序でくり返し注射して得られた血圧下降を測り,統計学的に分析,検討した。

定量はつぎのように行なった。15~40 mmHg 間の 血圧下降を与えるに適したヒスタミンの濃度比 1.5 の 2 溶液を調製し、各溶液を2 分してそれぞれ標準液お よび試料液に割当て、日局脳下垂体後葉注射液の定量 法⁶⁾ に準じて 2-2 用量検定を行なった。注射間隔は 5 分とした。

実験結果および考察

Fig. 1 に示すようにほとんどの例で 100~120 mm Hg の比較的安定した血圧基線が得られ、血圧基線の変動を防止するための処理は必要ではなかった.



3.2 0.2 0.8 1.6 0.4 0.2 0.8 3.2 0.4 1.6 0.4 0.8 1.6 3.2 0.2 1.6 0.8 0.2 0.4 3.2 0.4 0.8 Histamine (\mu g)

Fig. 1. The dose-response relation of histamine on the rat's blood pressure. Part of a record of blood pressure response from Ex. No. 6

ヒスタミンの静注は一過性の血圧下降を起こし $1\sim2$ 分で元にもどる。とくに実験中気管に多量の粘液が分泌されることがあった・ウレタン 175 mg/100 g の麻酔では気管の分泌物は少ないが、 Fig. 2 および Table 1 に示すように、一般に血圧が低く $(78\pm2.8$ mm Hg; フェノバルビタールラットは 114 ± 7.7 mmHg)、ヒスタミンに対する感度が鈍くなる傾向があった。Fig. 2 は各ラットによって求めた各用量に対する血圧上昇値を示し、各点は $3\sim6$ 回の観測の平均値である。

1) 用量一反応の関係:溶性フェノバルビタール麻酔ラット 7 例,ウレタン麻酔ラット 3 例について得られた データを Table 1 にまとめた.

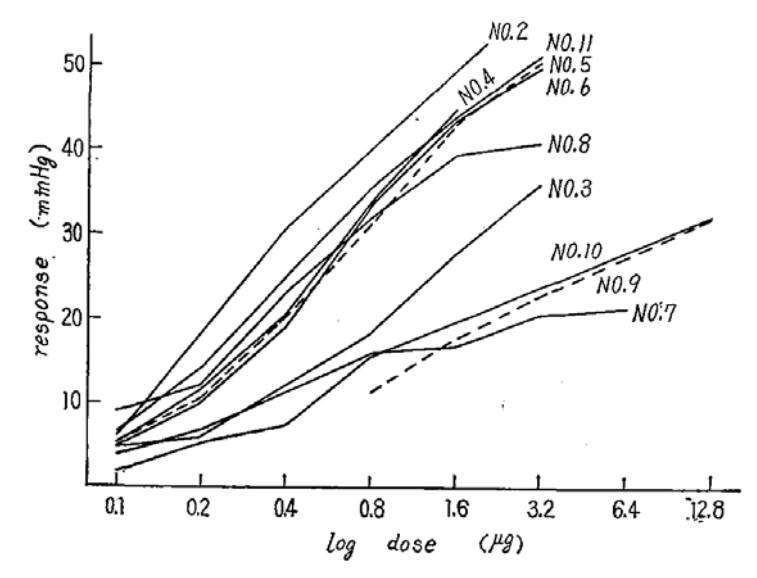


Fig. 2. The dose-response curves of histamine on rat's blood pressure. Each curve was gained from a rat

Table 1. Results of experiment on the dose-response relation of histamine on the rat's blood pressure

Ex.	animal wt.		mean blood pressure		range linearity found			
No.	(sex)	anaesthetic	(mmHg)	regression equation	dose (μg)	response (mmHg)		
2	200 g (å)	P	120	Y = 45.3 + 39.1X	0.1~0.8	6.2~41.5		
3	230 g (8)	P	120	Y = 24.0 + 24.2X	$0.2\sim 1.6$	$7.1 \sim 29.0$		
4	220 g (3)	P	120	Y = 36.6 + 37.6 X	0.2~1.6	$10.3 \sim 44.3$		
5	220 g (ŝ)	P	110	Y = 35.4 + 37.3 X	0.2~1.6	9.3~43.1		
6	210 g (ĉ)	P	110	Y = 35.8 + 37.3 X	$0.2 \sim 1.6$	$9.4 \sim 43.1$		
7	270 g (ŝ)	U	75	Y = 16.0 + 11.7 X	0.1~1.6	4,3~18,4		
8	270 g (8)	P	100	Y = 34.2 + 30.3 X	$0.2 \sim 1.6$	$13.2\sim40.4$		
9	300 g (8)	U	80	Y = 13.7 + 18.1X	$0.8 \sim 6.4$	$11.9 \sim 28.3$		
10	200 g (♀)	U	80	*				
11	200 g (♀)	P	120	Y = 38.0 + 33.5 X	$0.2 \sim 1.6$	$14.6 \sim 44.8$		

*insufficiency of the data

P.....sodium phenobarbital

Uurethan

フェノバルビタールによる麻酔ラットでは通常ヒスタミン 0.2~1.6 μg の用量範囲で対数用量-反応に直

線的関係が 認められた (P=0.95). これらの データ (No. 2, 3, 4, 5, 6, 8, 11) に分散の均一性が 認めら

Table 2. The mean weight of histamine required to depress the blood pressure by 20 mmHg

anhodyweight\	required weight of histamine (μg)						
anbody weight)	per body weight (kg)	per animal					
(3. 4 kg)	<0.11)	<0.34					
(8.5 kg)	0.51)	4.25					
(1.3 kg)	1. 172)	1,52					
(365 g)	6. 383)	2.33					
(225 g)	1, 40	0.313					
	(8.5 kg) (1.3 kg) (365 g)	anbodyweight per body weight (kg)					

れたのでデータを合し,用量 $0.2\sim1.6$ μ B 間につき 7 例の 平均回帰 方程式を求めた。

Y = 38.2 + 36.0 X

この式から、20 mmHg の血圧下降を起こすに必要なヒスタミン量を算出すると $0.313 \, \mu g$ になる。 これは体重 kg 当たり $1.4 \, \mu g$ であり,他の実験動物のそれらと比較してみると Table 2 のようになる。すなわち,ネコ,イ

ヌ,ニワトリおよびハトのそれぞれ約1.4倍,2.8倍,1.2倍および0.22倍である.しかし,実際に定量時に必要となるヒスタミンの濃度または量を考えると,ラットはネコの場合とほとんど同量であり,したがって

ヒスタミン検出感度はネコとあまり変わらないといえる.

2) 定量試験: 2-2 用量検定の結果を Table 3 に示す。

Table 3.	The	results	of 2	–2 assays	of	histamine	on	the	rat's	blood	pressure
----------	-----	---------	------	-----------	----	-----------	----	-----	-------	-------	----------

Ex.	М	L	potenc	у (%)	Santilar /34 + 1/ 7 > - 100	6	λ=s/b	
No.	144		actual	found	$[antilog (M \pm \frac{1}{2}L)] \times 100$	f*		
1	0.0020	0.081	100.0	100,5	91,6~110,2	3	0.056	
2	-0.0113	0.108	100.0	97.4	86,0~110,4	3	0.073	

^{*} number of the dose groups administered.

(P = 0.95)

この2回の検定から精度指数 λ の平均値を求めると 0.0645 となり、別に当部で行なった ネコによる ヒスタミンの検定試験 4 例の 平均 λ 値は 0.0365 で、これらを比較すると必ずしもネコ血圧法より本法がすぐれているとはいえない・

3) ヒスチジン中のヒスタミンの定量:ヒスチジン塩基 $10 \, \mathrm{mg}$ につきヒスチジン $0.1 \, \mathrm{\mu g}$ までが含有許容量 7 であるが,フェノバルビタール麻酔ラットでは,ネコ血圧でほとんどヒスタミンの含有を認めなかったヒスチジン $5 \, \mathrm{mg}$ で約 $10 \, \mathrm{mmHg}$, $10 \, \mathrm{mg}$ で約 $20 \, \mathrm{mm}$ Hg の血圧下降が生じた.したがって,ヒスチジンそのもので血圧下降を起こすので,ラットはこの目的には現在使えない.

総 括

溶性フェノバルビタール 35 mg/100 g による麻酔ラットを用いてヒスタミンに対する用量—反応曲線を検討し、用量 0.2~1.6 μg 間に直線性を認め ヒスタミンの定量に十分利用できることを確めた。ウレタン 175 mg/100 g による麻酔ラットは一般にフェノバルビタールによる麻酔ラットに比べ血圧が低く、したがって、ヒスタミンに対する感受性が低く、この定量には適さなかった。

本実験に際し、助力された旧部員中山豪一博士に厚く感謝します。

文 献

1) L. W., Rowe, Brown, R. A.: J. Am. Pharm.

Assoc., 42, 257 (1953)

- I. L., Natoff, M. F. Lockett: J. Pharm. Pharmacol., 9, 464 (1957)
- 3) 長沢佳熊,中山豪一,芹沢 淳:衛生試報,76, 169(1958)
- 4) 中山豪一, 芹沢 淳:未発表
- 5) 中山豪一: 衛生試報, 74, 141 (1956)
- 6) 第7改正日本薬局方第1部, p. 461 (1961)
- 7) N. F., 10 ed., p. 278 (1955)

Summary

The Assay of Histamine by the Rat Blood Pressure. Kakuma Nagasawa and Hideo Fukuda

The relation between the responses of blood pressure and the doses of histamine were studied on the rat anaesthetized with $35 \, \mathrm{mg}/100 \, \mathrm{g}$ of sodium phenobarbital, and it was shown that the responses of lowering the blood pressure in mmHg were linearly related to the 1-og doses (from 0.2 to 1.6 $\mu \mathrm{g}$). The responses we re able to be used satisfactorily for the assay of histamine.

175 mg/100 g of urethan was not so good as sodium phenobarbital as an anaesthetic in this assay, because the former has an inclination to decrease the rat's sensitivity against histamine.

(昭和40年5月31日受付)

ニワトリ血圧に基づくバソブレシン注射液中の オキシトシンの定量について

長 沢 佳 熊 • 福 田 秀 男

バソプレシン注射液(以下 VI と略す)中のオキシトシンの定量法として、モルモット子宮収縮法 $^{1-3}$)が米局、日局に採用されている。しかしこの方法は種々な不便があるために、オキシトシン注射液の定量法としてはすでに不採用になっていて、それに代わる定量法として精度の良いニワトリ血圧下降法 3)が採用されているが、この方法は VI のようにオキシトシンに比べ、バソプレシン量が多いときには 利用できない 4 . そこでバソプレシンのみを分解することができればニワトリ法が利用できる はずである。 $Nielsen^{5}$ によれば、VI から防腐剤として 添加されているクロルブタノール(0.5% w/v)を除き、pH を $8\sim9$ とし VI 1 ml につきトリプシン 10 μg を加えると、バソプレシンのみを分解することができるという.

著者らは、この方法を利用し、VIに直接トリプシンを作用させてバソプレシンのみを分解し、VI中のオキシトシンの定量にニワトリ法を用いることができることを認めたのでここに報告する。

実 験 材 料

バソプレシン注射液: Pitressin (20u/ml), Parke, Davis 社 (pH 3.88)

オキシトシン注射液: Syntocinon (5u/ml), Sandoz 社 (pH 3.94)

脳下垂体後葉注射液: アトニン (10 u/ml), 帝国臓器製薬 K.K. (pH 3.70)

タンニン酸バソプレシン油性懸濁注射液: Pitressin tannate (5 u/ml), Parke, Davis 社

結晶トリプシン: Trypure novo (22-25 Anson u/g), Novo 社

実験方法および結果

オキシトシンおよびバソプレシンの定量は日局の方 法にしたがい,それぞれニワトリ血圧下降法³⁾ および 脳髄破壊白ネズミ血圧上昇法¹⁾ を用いた

Pitressin 1 ml につき 0.1, 0.3 および 0.5 mg/ml のトリプシン溶液各 1 ml を加え, 35~36° で放

置したところ,バソプレシン活性は ${f Fig.~1}$ のように減少した。

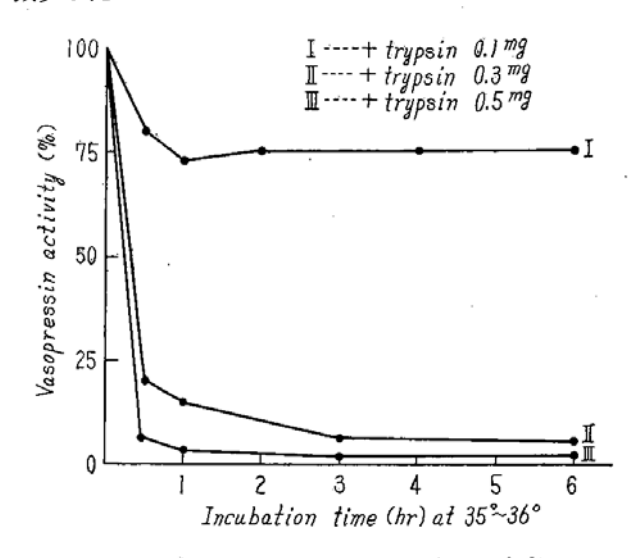


Fig. 1. Decrease in vasopressin activity by trypsin digestion at pH 3.5~4.0

- 2. Syntocinon およびアト=ン各 1ml につきトリプシン溶液 (0.5 mg/ml) を 1ml ずつ加え $35\sim36^\circ$ で 20 時間放置したところ, 両注射液のオキシトシン活性にはまったく変化なく,アト=ンのバソプレシン活性のみ完全に消失していた・
- 3. Pitressin tannate $2 \, \text{ml}$ をエーテル $8 \, \text{ml}$ に溶解し、 $3 \, \text{ml}$ の N/100 塩酸で $2 \, \text{回抽出し}$ 、煮沸して溶解しているエーテル分を除去してから全量を $10 \, \text{ml}$ とした バソプレシン塩酸抽出液 $(\text{pH } 2.3) \, 2 \, \text{ml}$ に、結晶トリプシン $0.5 \, \text{mg}$ を加え 22° で $6 \, \text{時間放置した}$ ところ、バソプレシン活性はまったく分解されていなかった
- 4. Pitressin tannate を 3. と同様に 抽出し、エーテル分を除去してから 1% 炭酸水素 ナトリウムで $10\,\mathrm{m}l$ としたバソプレシン溶液 $(\mathrm{pH}\ 4.1)^*\,2\,\mathrm{m}l$ に結晶トリプシン $0.5\,\mathrm{mg}$ を加え、 22° で 1 時間放置したのち N/100 塩酸 $2\,\mathrm{m}l$ を加えて $(\mathrm{pH}\ 2.5)$,そのバソプレシン活性を調べたところ,対照液の6.6% に減少していた。またそのオキシトシン活性を調べたところ約 $0.15\,\mathrm{u/m}l$ で,バソプレシン表示単位の 30% に相当し,この値はモルモット子宮法 $^\mathrm{l}$ で得た値とよく一致した・

^{*} タンニン酸バソプレシンおよびタンニン酸の沈殿 を生じ白濁した.

5. $0.5 \,\mathrm{mg/m}l$ トリプシン 溶液を $35\sim36^\circ$ で 1 時間放置したものは $0.1 \,\mathrm{m}l$ でニワトリおよびラット血圧になんら影響を示さなかった.

考 察

以上の結果から、VI中の オキシトシン量は、VIに直接トリプシン $0.3 \, \mathrm{mg/ml}$ 溶液 $1 \, \mathrm{ml}$ を加え、 $35 \, \sim 36^\circ$ で $1 \, \mathrm{bfl}$ 作用して バソプレシンのみを分解し、 $- \, \mathrm{J}$ 中の 上下降法で定量することができる。また、タンニン酸バソプレシン油性懸濁注射液中のオキシトシン量は、 $N/100 \, \mathrm{LE}$ 独出油液を $1\% \, \mathrm{kg}$ 炭酸水素ナトリウム液で $\mathrm{pH} \, 4 \, \mathrm{LL}$ 上とし、トリプシン結晶 $0.5 \, \mathrm{mg}$ を加え $35 \sim 36^\circ$ で $1 \, \mathrm{bfl}$ 防置したのもに $\mathrm{pH} \, 2.5$ に下げれば、これも $- \, \mathrm{J}$ トリ血圧下降法で定量することができる。

本実験において酵素実験に協力された酵素室長山羽 力博士に感謝致します。

文 献

- 1) 第7改正日本薬局方第1部, p. 470 (1961)
- 2) U.S.P. XVI, p. 793 (1960)
- 3) 第7改正日本薬局方, 第1部, p. 461 (1961)
 - 4) C. W. Emmens: Hormon Assay, p.126 (1950), Academic Press
 - A. T. Nielsen: Dansk. Tids. Farm., 32, p. 1 (1958)

Summary

On the Determination of Oxytocin in the Vasopessin Injection Using the Chicken Blood Pressure Method. Kakuma Nagasawa and Hideo Fukuda.

The oxytocin in the Vasopressin Injection is quantitatively determined by the chicken blood pressure method after the vasopressin is digested by trypsin in the pH 3.5 to 4.0 medium.

(昭和40年5月31日受付)

オキシトシンの定量におけるニワトリの 再度の使用について

長 沢 佳 熊・福 田 秀 男

ニワトリの血圧下降によるオキシトシンの定量法において、同一動物を2回使うとき、血圧基線の変動、回帰係数および分散などにほとんど影響なく検定できることを確め、また検定精度を左右する因子がある程度動物に個有のものであることを確めたのでここに報告する.

実 験 方 法

当所生物化学部において、過去約3年間に行なった 脳下垂体後薬注射液またはオキシトシン注射液の国家 検定定量試験¹⁾ のうち、1羽のニワトリを約1カ月の 間隔で2回使用したものにつき、つぎのことを調べ、 第1回目と第2回目のデータを比較検討した。ただし 第2回目に使用したニワトリは、第1回目の実験後た だちに使用した座骨動脈を結紮し、切開部を縫合して 休養させたものである。また、前後2回の検定は同一 検定者が行なったものである・

血圧基線の変動:検定中,休止期に最も高くなった 血圧と最も低くなった血圧との差,すなわち変動幅で 表わした. 平均血圧:血圧基線変動範囲の平均値で表わした・ オキシトシンに対する感度:日局脳下垂体後葉標準 品 0.02 単位により生じた血圧下降値を mmHg で示 した・

回帰係数²⁾: $b = \sum \{(T_2 - S_1) + (S_2 - T_1)\}/8f$, $s_b = \sqrt{V(b)} = \sqrt{S^2/8f}$

分散:検定で得られた S^2

Server of the server of the server of

精度指数: $\lambda = S/\{b/\log \sqrt{1.5}\}$

第3級波³~⁴)の有無: 主観的に血圧基線の規則的な上下波を第3級波とした.

結果および考察

13 例について調べ、表1にまとめた。すなわち、

- 1. 平均血圧は,同一動物でも第1回目と第2回目で異なり,その増減も前後に関係ないことがわかる.
- 2. 血圧基線の変動の程度は、各動物によって2回 とも似た傾向を示しており、この変動が動物に個有の ものであることがわかる・
- 3. オキシトシンに対する感受性は、No. 2, 3, 4 を除き第2回目の方が高くなっていた。これは第1回

に注射されたオキシトシンの影響によってニワトリの 感受性が高まるものと思われる.

- 4. 回帰係数は, 第1回目と第2回目におけるその 差の検定では No. 4 (>2) を除き有意の差を認めなか った. (回帰係数の大小は 動物に個有のものと 思われ る).
- 5. 分散は、各実験回ごとに変わり、これは一般に 試験者による注射様式の誤差や、動物の起こす血圧反

応の振れが影響するものと考えられるが、この一連の 実験では、第1回と第2回とについての関係は見られ なかった。したがって、動物個有のものではないと考 えられる。

- 6. 精度指数も、2度目の方が悪いということはなかった。
- 7. 第3級波の有無は, No. 7 を除いてほとんど似た傾向を示した。

第1表 各ニワトリの前後2回のオキシトシン検定のデータの比較

	<u> </u>		ım.		血圧基線の	かが	オキシトシン	0.02112	<u> </u>		1	·	1
動物	指定日	体重	(mn	ıHg)	動(加州		よる圧血下降		回帰的		- 分散	精度指数	第3
No.		(kg)	平均	差	範 囲	幅	平 均	差	$b \pm s_b$	差の 検定*		1110001120	級波
1	37-10-22	2.3	125	0	130~124	6	14.0	+17.3	4.87 ± 0.674	1.29	7.30	0.049	有
_	37–12– 3	2.4	125	ľ	130~124	6	31.3	+17.5	6.06 ± 0.648	1.23	6.76	0.038	有
2	37–11– 5	1.9	118	-8	120~115	5	41.5	-10.2	5.19±0.681	0, 29	7.43	0.046	無
	37–12– 5	2.1	110	,-o	114~108	6	31.3	-10, 2	4.94 ± 0.535	0.29	4.60	0.038	無
3	37-11-15	2.6	105	+20	112~102	10	38, 5	- 2.0	6,06 ± 1.128	0, 10	20.40	0.066	有
3	37-12-17	2.6	125	+20	130~122	8	36.5	- 2.0	5.94 ± 0.527	0.10	4.43	0.031	有
4	38- 3-29	2, 1	134	-22	140~125	15	29.5	0	5.50 ± 0.469	2, 12	3,50	0, 030	少々有
4	38- 4-23	2.0	112	-22	128~ 96	32	29.5	U	4.13±0.445	2, 12	3.17	0.038	有
5	38- 3-19	1.7	116	+19	126~106	20	34.5	+12.0	4.56 ± 0.387	0.24	2. 43	0.030	有
J	38- 3-27	1.6	135	7- 19	$165 \sim 120$	45	46.5	+ 12.0	4.69 ± 0.479	0.24	3.63	0.036	有
6	38- 3-28	2.0	120	-20	132~112	20	22.5	+ 3.5	5.06 ± 0.441	0.11	3.10	0.031	無
0	38- 4-16	2.1	100	_20	112~ 96	16	26, 0	+ 0.0	5.00 ± 0.290	0.11	1.33	0.020	無
7	38- 4- 1	2.1	118	0	120~115	5	18.5	+28.5	3.94±0.391	0.32	2. 45	0.035	無
'	38- 4-30	2.1	118		120~116	4	47.0	720.0	4.19 ± 0.617	0.02	6. 10	0.052	有
8	38- 5- 9	2, 5	138	-33	142~136	6	26. 0	+ 4.5	5.18 ± 0.465	0.40	3, 43	0.032	有
0	38- 7- 9	2.3	105	-33	108~101	7	30.5	+ 4.0	4.94 ± 0.390	0.40	2.43	0.028	有
9	40- 3- 8	2.5	115	-6	122~107	15	24.8	+ 5.5	3.81 ± 0.390	0.32	2.43	0.036	無
9	40- 3-29	2.5	109	-0	116~102	14	30.3	+ 5.5	4. 00 ± 0 . 456	0.02	3.33	0.040	少々有
10	40- 3-12	2.4	94	+19	100~ 88	12	19.8	+19.2	3.75 ± 0.848	0.19	11.5	0.080	有
10	40- 3-30	2.4	113	713	119~107	12	39. 0	T 10. 2	3.56 ± 0.505	0.13	4.10	0.050	有
11	40- 4-12	2.4	106	+1	110~102	8	33. 5	+13.1	3.87 ± 0.337	0.33	1.83	0.031	少々有
11	40- 4-28	2.4	107		111~103	8	46.6	710,1	4.06 ± 0.460	0.00	3, 40	0.040	有
12	40- 4-13	2.6	107	-10	116~ 98	18	12. 0	+10.0	4.69 ± 1.022	0.91	16.70	0.077	有
12	40- 5-13	2.7	97	-10	102~ 92	10	22.0	+10.0	3.63 ± 0.559	0.51	5,00	0.054	有
13	40- 4-20	1.9	123	—16	128~116	12	30.0	+12.0	5. 18 ± 0 . 820	0.41	10.77	0.056	有
10	40- 5-20	2.2	107	-10	113~100	13	42.0	T 12.0	4.81 ± 0.389	0.41	2. 43	0.029	有
												-	

^{*} $\frac{b_1-b_2}{\sqrt{s_{b_1}^2+s_{b_2}^2}}$

以上の実験から,この定量法において麻酔ニワトリ の血圧基線の変動,回帰係数,第3級波の有無は,各 動物個有のものである傾向が強い。また精度指数は第 1回と第2回とで差がないことから,同一動物を再び

使ってもさしつかえないといえる.

文 献

- 1) 第7改正日本薬局方, 第1部, p. 461 (1961)
- J.H. Burn, D.J. Finney, L.G. Goodwin: Biological Standardization, 2nd ed., Oxford University Press
- 3) 福田邦三, 加藤 保:日本生理誌, 8,540(1943)
- 4) 加藤 保:日本生理誌, 10, 151(1947)

Summary

On the Twice Use of Same Fowl for the

Oxytocin Assay. Kakuma Nagasawa and Hideo Fukuda

For the oxytocin assay, the fowl was used twice to know how different the assay data between the first and the second.

The results were as follows:

- 1) There were no differences between the two assay in the mean blood pressure, the regression coefficient, and the variance.
- 2) The sensibility of the fowl to oxytocin was higher in the second assay than in the first.

(昭和40年5月31日)

血圧剤の血圧作用と血流量との関係について (第1報)

ニケタミド, アドレナリン, ノルアドレナリン, セロトニン, ヒスタミン, アセチルコリン, バソプレシン, カリクレイン, シアン化カリウム, 亜硝酸 ナトリウムおよびニトログリセリンについて

長 沢 佳 熊・福 田 秀 男

血圧剤いわゆる血圧を上昇または下降させる薬物の実験動物に対する血圧作用は、動物種、麻酔剤、麻酔深度、注射方法および速度などによってきわめて異なる結果を示す。中枢作用の影響を小さくした深麻酔動物において、その根本となる2因子は強心作用の強弱と血管の収縮などに基づく血流抵抗の増減とであると考えてよいであろう。著者らは、11種の血圧剤のけい動脈血圧および血流量にいかに現われるかを知るためにつぎの実験を行なった。なお、血流量の測定には、7-放射体を用いる方法1-2)、サーミスターを用いた温度測定に基づく方法3,ファラデー電流に基づく電磁式方法3-4)などがあるが、著者らは、電磁式を用いた。

実 験 材 料

adrenaline: l-adrenaline (Merk)

noradrenaline: dl-noradrenaline (三共) acetylcholine: 「オビソート」 (第一製薬) histamine: histamine diphosphate (宝製薬)

serotonin: (第一化学)

vasopression: [Pitressin] (20 μ/ml) (Parke,

Davis)

potassium cyanide: (和光純薬)

kallikrein: (Bayer)

nikethamide:「コラミン注射液」(武田薬品) sodium nitrite:分析用試薬 (武田薬品)

nitroglycerin:「ニトログリセリン錠」(日本化薬)からエタノールで抽出し、水で2倍に希釈したもの.

実 験 方 法

実験動物: 体重 3~4.5 kg の雄家ウサギに 1g/kg のウレタンを腹腔内注射して麻酔したもの.

血流量および血圧の測定装置:日本光電工業株式会 社製 電磁流量計トランスシューサー (MF-2T), 圧力 トランスシューサー (MP-4T) を 多用途 監視記録装 置 (RM-150) に連結した.

操作:前記麻酔ウサギを背位に固定して,けい動脈を露出し切断してその両端を 0.9% 生理食塩液で満たしたガラスカニューレと内径約 4 mm のビニール管とで,電磁流量計トランスジューサーに連絡し,このビニール管の途中から枝管で圧力トランスジューサーに連結し,血流量および血圧を自動記録した・記録された血流量および血圧は,それぞれ既知の生理食塩液の標準流量および,マノメーター測定による血圧と比較し校正した・

実 験 結 果

1. けい動脈血圧と血流量

前記麻酔ウサギ 16 例の平均血流量は 0.185 ± 0.083 (SD) ml/sec, 平均血圧は 86.4 ± 19.2 (SD) mmHg であった。

2. 各種薬物による血流量と血圧との関係

イ) l-adrenaline (adr.): $1\sim5~\mu g/kg$ で血圧は上昇し,血流量は初め一時的な増加があり,続いて急激に減少した (Fig. 1, A および B).

ゅ) dl-noradrenaline (dl-norad.): $2\sim10~\mu g/kg$ でadr. と非常によく似た曲線を示した(Fig. 1 C およ

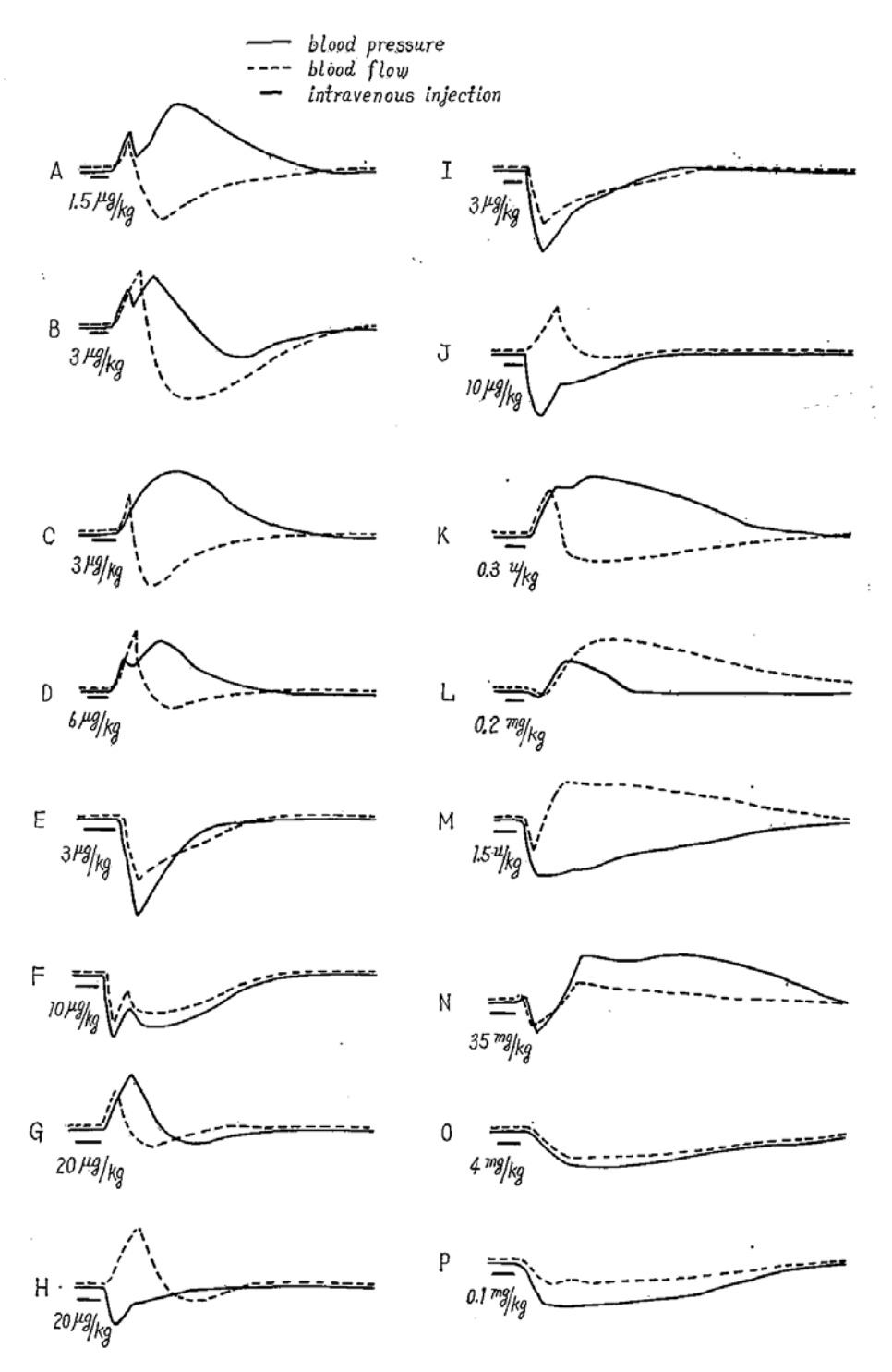


Fig. 1. Circulatory changes due to administration of various drugs

A, B: l-adrenaline

I,J: serotonin

N: nikethamide

C, D: dl-noradrenaline

K: vasopressin

O: sodium nitrite

E: acetylcholine

L: potassium cyanide

P: nitroglycerin

F, G, H: histamine

M: kallikrein

7× D).

- へ) acetylcholine (ach.): 0.3~3 μg/kg で血流量の減少と血圧の低下がまったく同期している (Fig. 1, E).
- =) histamine (hist.): 3~20 μg/kg で Fig. 1, F, G および H の 3 種が観察され、 ウサギの hist. に対する血圧反応の不定性⁵⁾ が血流量にも現われていた。
- ホ) serotonin (5-HT): $3\sim10 \,\mu\text{g/kg}$ で,血圧はほとんど全例が下降し,血流量も減少したが (Fig. 1, I), 増加した例 (Fig. 1, J) もあった.
- へ) vasopressin (vasop.): 0.03~0.3 u/kg で,血圧は上昇して持続し,血流は前半血圧の上昇により増加するが,血圧の上昇が落着くにしたがい減少し始め,注射前よりも少し低下して持続し,血圧の回復に同期して回復した (Fig. 1, K).
- ト) potassium cyanide: $0.1\sim0.3$ mg/kg で呼吸高進を伴ない,血圧,血流量がともに増加するが,血圧は多くの場合 $1\sim3$ 分で回復するに反して,血流量は $5\sim10$ 分持続する傾向があった (Fig. 1, L).
- チ) kallikrein: 0.5~2.0 u/kg で、初期の血圧下降に伴って血流も一時減少するが、血圧の下降が落着くにしたがい、末稍血管抵抗の減少のための増加が現われ、比較的長期にわたってこの増加が持続した。この持続は血圧下降の持続期間と一致していた(Fig. 1, M).
- リ) nikethamide: $30\sim40$ mg/kg で、初期には 血圧,血流量がともに減少し,続いてともに上昇して持続した (Fig. 1, N).
- ヌ) sodium nitrite および nitroglycerin: 前者は 1.5~5 mg/kg で Fig. 1, O, 後者は 0.1mg/kg で Fig. 1, P のような曲線を示した.

考察

血圧,血流量に対する以上の結果を各薬物について 従来の知見と比較してみよう.

adr., dl-norad. については、強心作用、末稍血管 収縮作用が知られており、ここに見られた曲線 A, B, C および D でもそれが現われている。すなわち、初期において強心作用のため血圧が上昇し、その影響で血流量も増加するが、続いて起こる末稍血管の収縮によって血流量が減少したと考えることができる。adr. および dl-norad. の B および D は、血圧上昇作用が等しいような用量を注射したもので、adr による血圧は後半に低下するが、dl-norad. の場合にはそれが見られず、そのためか adr. による血流量は dl-norad. によるそれよりも常に大きく減少する傾向があったが、これについては、さらに種々な投与量の実験から結論を導きたいと考えている。

ach. については、心臓の 収縮力を抑制し、 拍動数 を減少するとともに末稍血管の拡大を起こすことが知られており、これは麻酔動物における神経支配を考慮 に入れて考えるのが当然ではあるものの、一応それが 曲線 E に現われている.

5-HT については、一般にウレタン麻酔ウサギでは 血圧を下降させる。といわれており、本実験でもそれ が確められた. I の曲線は ach. の E 曲線と非常によ く似ていて、5-HT に副交感神経末端から ach. を遊 離させる作用があるという報告。のもあり、よく一致 しているが、J の例では、比較のため 5-HT の注射 の前後に注射して得た ach. の血流、血圧曲線とは異 なっている. hist. とともに 5-HT の循環系への作用 機転の複雑さを示すものであろう. hist. では用量の 大小により心拍の促進と抑制とが認められたが、従来 の文献にもその両方および血管の拡大または収縮が記 載されている.

Vasop. については、著者らのウレタン麻酔ウサギの実験 $^{12)}$ では、腎動脈血流量の増大をみているが、これらについては近年多くの文献 $^{13,14)}$ があり、別に報告する予定であるので、ここでは論及しない。

potassium cyanide については、一般に末稍血管の拡大および血圧の上昇を起こす¹⁰⁻¹¹⁾ といわれ、本実験では血圧の回復後もなお血流量の増加が持続することがめだった。

kallikrein については、強心作用および末稍血管の拡大作用が知られており、後者がよく曲線 M に現われている。一般に末稍血管抵抗が減少する場合には、曲線 M のように血圧および血流の曲線が互に対称となって現われると考えてよいであろう。

nikethamide は、心拍作用を促進するが、本実験では血圧の上昇とその持続が著明であり、血流量は末稍血管抵抗の増加のためか一時減少したが、注射前よりも増えて多少持続している。

sodium nitrite および nitroglycerin では、ともに 小動脈、毛細血管および小静脈血管などを強く拡大す るといわれる。したがって、血圧が低下することは考 えられるが、当然増加すると思われる血流量がまった く増加せず、むしろ減少している。

総 括

血圧剤 11 種について, ウレタン麻酔ウサギに与えるけい動脈の血圧と血流との関係を調べ, 大別するとつぎのようになった.

1) 血圧、血流ともに減少させたもの acetylcholine (0.3 \sim 3 μ g/kg), serotonin (3 \sim 10 μ g/kg), sodium nitrite (1.5 \sim 5 mg/kg.), nitrogly-

cerin (0.1 mg/kg)

- 2) 血圧, 血流ともに増加させたもの niketamide (30~40 mg/kg), potassium cyanide (0.1~0.3 mg/kg)
- 3) 血圧は上昇, 血流は一時増加後, 減少させたもの l-adrenaline (1~5 µg/kg), dl-noradrenaline (2
- \sim 10 μ g/kg), vasopressin (0.03 \sim 0.3 u/kg)
- 4) 血圧は下降,血流は一時減少後,増加させたもの kallikrein (0.5~2.0 u/kg)
- 5) 血圧,血流反応ともに不定であったもの histamine (3~20 µg/kg)

文 献

- 1) K. L. Zierler: Circ. Research., 16, 309 (1965)
- 2) H. Goldman: Endocrinology, 72, 588 (1963)
- 3) 田沢正敏:日本生理誌, 27, 1(1965)
- 4) G. R. Barer: J. Physiol., 156, 49 (1961)
- 5) 伊藤 宏, 堀口佳哉:日薬理, 59, 42 § (1963)
- 6) 中村幸雄:日薬理, 61, 69(1965)
- Rocha e Silva, et al.: Brit. J. Pharmacol., 8, 378 (1953)
- 8) P. A. Robertson: J. Physiol., 121, 54(1953)
- J. H. Gaddum, K. A. Hameed: Brit. J. Pharmacol., 9, 240 (1954)
- 10) J. Blake: Edinb. Med. & Surg. J., 51, 330 (1839)
- M. Russek, et al.: Am. f. Physiol., 204, 309 (1963)
- 12) 長沢佳熊, 福田秀男:未発表
- 13) G. R. Barer: J. Physiol., 156, 49(1961)
- 14) G. R. Baren: J. Physiol., 169, 62 (1963)

Summary

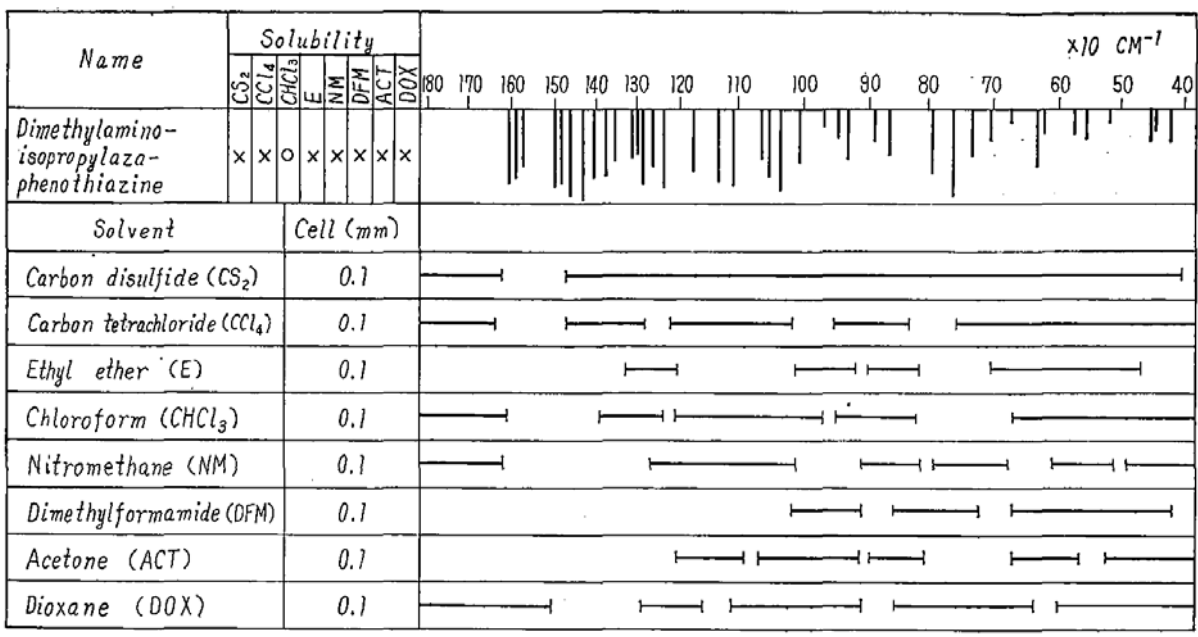
Relationship between the Blood Pressure and the Blood Flow Effects of Drugs which Change Blood Pressure. I. On the effects of Nikethamide, Adrenaline, Noradrenaline, Serotonin, Histamine, Acetylcholine Vasopressin, Kallikrein, Potassium cyanide, Sodium nitrite and nitroglycerin. Kakuma Nagasawa and Hideo Fukuda

Effects of 11 drugs on the blood pressure and the blood flow in the carotid artery of rabbits anaesthetized with urethan were investigated.

The results were obtained as follows:

- 1) Acetylcholine (0.3 \sim 3 μ g/kg), serotonin(3 \sim 10 μ g/kg), sodium nitrite (1.5 \sim 5mg/kg) and nitroglycerin (0.1 mg/kg) showed a decrease in the blood pressure and the blood flow.
- 2) Niketamide $(30\sim40 \text{ mg/kg})$ and potassium cyanide $(0.1\sim0.3 \text{ mg/kg})$ showed an increase in the blood pressure and the blood flow.
- 3) l-Adrenalin (1 \sim 5 μ g/kg) dl-noradrenalin (2 \sim 10 μ g/kg) and vasopressin (0.03 \sim 0.3 u/kg) showed an increase in the blood pressure, and a decrease in the blood flow with an initial increase.
- 4) Kallikrein (0.5~2.0 u/kg) showed a decrease in the blood pressure, and an increase in the blood flow with an initial decrease.
- 5) Histamine $(3{\sim}20\,\mu\text{g/kg})$ showed irregular reactions in the blood pressure and the blood flow.

(昭和40年5月31日受付)



O: soluble, very soluble \(\Delta : slightly soluble, very slightly soluble \(X : insoluble \)

国立衛生試験所標準品(日本薬局方標準品)ジゴキシン 標準品およびジギトキシン標準品について

長澤佳熊・川村次良・升田 貞木島敬二・玉野美矢子

日本薬局方ジゴシン,同散,同注射液の確認試験ならびに定量法および日本薬局方ジギトキシン,同錠,同注射液の定量法,同錠の純度試験に用いられる標準品として,国立衛生試験所標準品ジゴキシン標準品およびジギトキシン標準品を製造したので,それらの試験成績を報告する。

実験装置

日局 W 融点测定装置, Rudolph 分光旋光計 200S-80型, 日立分光光度計 EPU-2A型, 日立自記分光光度計 ESP-2型, 日本分光赤外分光器 DS 301型

ジゴキシン標準品

この標準品は,原料の融点が文献値¹⁾ (約265°) より低い値 (約230°) を示したので,85% エタノールから再結晶したものである.なお,U.S.P. 標準品の測定値は約254° (分解) であった.

外 観 白色結晶性の粉末 融 点 約 260° (分解) 旋光度 [a]‰:: +13.5° (減圧, 105°, 1時間乾燥後, 0.5 g, ピリジン, 5 ml, 100 mm)

薄層クロマトグラフ

吸着剤: Kieselgel G を厚さ 250 μ にひき、 110° で 3 時間乾燥したのも使用した。

展開操作:エタノールに溶解した試料約 $2 \mu g$ をスポットし、展開溶媒 [メチレンクロライド:メタノール:ホルムアミド (80:19:1)] を用いて 25° で約1時間展開した.

検出法:検出試薬 [トリクロル酢酸:クロラミン T (15:1)] を噴霧し、 110° で 10 分間 加熱 したのち、紫外線 (3650 Å) を照射するとき、U.S.P. 標準品を同様に操作して得た主スポットと同じ位置 (Rf:0.68) に、紫青色のけい光を発する主スポットを認めた、なお、U.S.P. 標準品と同じ位

置 (Rf: 0.70) に,不純物と考られる極めて微 量のけい光を発するスポットを認めた。

強熱残分 0.06%

赤外吸収スペクトル Fig. 1. (KBr 法)

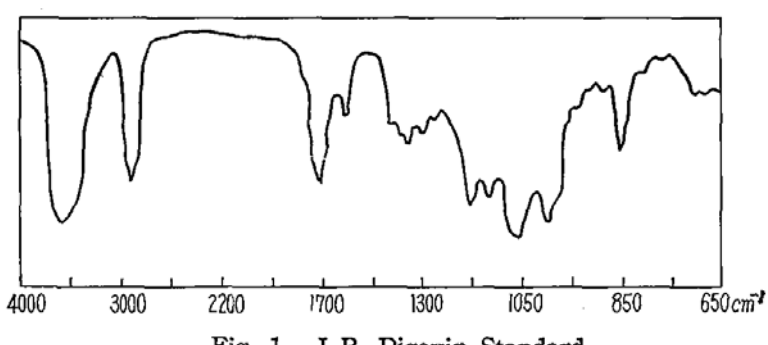


Fig. 1. J.P. Digoxin Standard

旋光度 (α)²⁰ : +17.5° (減圧, 100°, 2 時間乾燥 後, 0.25 g, クロロホルム, 50 ml, 100 mm) $\log \varepsilon$ (217 m μ): 4.19 (乾燥後, 5 mg, 吸光度 エタノール, 250 ml, 10 mm) たお, U.S.P.

標準品の測定値は 4.19 であった.

薄層クロマトグラフ

ジゴキシン標準品の薄層クロマトグラフ ィーと同様に操作するとき, U.S.P. 標 準品の主スポットと同じ位置 (Rf:0.75) に, 紫青色のけい光を発するスポットを 認めた.

強熱残分 0.02%

赤外吸収スペクトル Fig. 2. (KBr 法)

ジギトシン標準品

この標準品は,原料の融点が文献値²⁾ (約236°) よりやや低い値(約233°)を示し たので、ジゴキシン標準品と同様に、85% エタノールから再結晶したが、その値は変 わらなかったので、原料を標準品として採 用した. なお, U.S.P. 標準品の測定値は 約 250° であった.

外 観 白色結晶性の粉末

融点 約 233° (分解)

4000 3000 2200 1700 1300 1050 850 650 cm¹

Fig. 2. J. P. Digitoxin Standard

文

- 1) Pharmacopoea Internationalis, 1, p. 93 (1951); U.S.P. Reference Standards, p. 5(1951); W. Karrer: Konstitution und Vorkommen der organischen Pflanzenstoff, p. 905 (1958);
- S. Smith: J. Chem. Soc., 508 (1930)
- 2) Pharmacopoea Internationalis, 2, p. 89 (1955); W. Karrer: Konstitution und Vorkommen der organischen Pflanzenstoff, p. 885 (1958)

(昭和40年5月31日受付)

避妊薬中の酢酸フェニール水銀の ポーラログラフ定量法

佐藤 寿•島

酢酸フェニール水銀(P. M. A.) は殺精子剤として避 妊に、また殺菌剤として種子消毒に、いずれもその殺 菌力のすぐれている点が認められ、現在相当広く用い られている.

酢酸フェニール水銀についてのポーラログラフ的基 礎研究は Page,1) Benesch,2) Vojir,3) 梶村・山本4,

佐藤5 らによりそれぞれ報告されているが、避妊薬中 の酢酸フェニール水銀のポーラログラフ定量について は見当らない。避妊薬の現行基準では、酢酸フェニー ル水銀を含む製剤を硫酸・発煙硝酸により分解した水 銀塩を最終的に硫シアン化アンモニウム液で滴定して 定量している.この化学的定量法は正確であるが,有害

Hisashi Sato and Mochihiko Shimamine: Polarographic Determination of Phenylmercuric Acetate in Contraceptives